

## بررسی تأثیر نقاط فوق هم‌گرای تنش برای بهبود حل و برآورده خطا در تحلیل ایزوژئومتریک مسائل مقارن محوری\*

احمد گنجعلی<sup>(۱)</sup>بهروز حسنی<sup>(۲)</sup>

**چکیده** یکی از روش‌های برآورده خطا مبتنی بر بازیافت تنش در روش ایزوژئومتریک مسائل تنش مسطح، بر پایه استفاده از خاصیت نقاط فوق هم‌گرایی بوده است. در این مقاله به توسعه این روش در تحلیل ایزوژئومتریک مسائل با مقادیر محوری و بررسی تأثیر استفاده از این نقاط فوق هم‌گرایی بهبود حل و برآورده خطا آن پرداخته شده است. نتایج بدست آمده از این پژوهش کارایی مناسب این نقاط بهینه تنش را در بهبود حل و برآورده خطا تحلیل مسائل مقارن محوری به روش ایزوژئومتریک نشان می‌دهند.

**واژه‌های کلیدی** تحلیل ایزوژئومتریک، مسائل مقارن محوری، برآورده خطا، بازیافت تنش.

## Effect of Superconvergent Stress Points for Solution Improvement and Error Estimation of Isogeometric Analysis of Axisymmetric Problems

A. Ganjali      B. Hassani

**Abstract** A method for error estimation of isogeometric analysis of plane stress problems which is the based on stress recovery and using the super convergent properties of the Gauss points, has been already introduced. This paper is devoted to the development of the method and study of the effects of these superconvergent points on the solution improvement and error estimation of axisymmetric problems by the isogeometric analysis method. It is concluded that by using these optimal points for stress recovery and error estimation by isogeometric analysis a considerable improvement is attained.

**Key Words** Isogeometric Analysis, Axisymmetric Problems, Error Estimation, Stress Recovery.

---

\*تاریخ دریافت مقاله ۹۱/۲/۱۳ و تاریخ پذیرش آن ۹۲/۷/۱۷ می‌باشد.

(۱) نویسنده مسئول، دانشجوی دکتری، دانشکده عمران، دانشگاه صنعتی شاهرود، ahmad.ganjali@yahoo.com

(۲) استاد، گروه مکانیک، دانشکده مهندسی، دانشگاه فردوسی مشهد.

## مقدمه

پیدایش روش اجزای محدود و روش‌های طراحی به کمک رایانه، این اتصال بین تحلیل مهندسی و طراحی به کمک رایانه به وجود نیامد. برای اولین بار، ورود تکنیک‌های طراحی به کمک رایانه در سال‌های ۱۹۹۸ تا ۲۰۰۴ توسط کیگان و هولیگ و همکارانشان صورت پذیرفت [۱-۳]؛ که در آن به جای توابع شکل مورد استفاده در اجزای محدود، از توابع پایه اسپلاین استفاده شده بود. در سال ۲۰۰۵ این ایده با استفاده از توابع نریز (بی-اسپلاین‌های Non-Uniform Rational B-Splines (NURBS)) که از توسعه توابع اسپلاین به دست می‌آیند توسط هیوز و همکارانش تکامل یافت و روش تحلیل ایزوژئومتریک نام گرفت [۴]. در این روش ضمن استفاده از خواص توابع پایه اسپلاین و نریز در تعریف دقیق منحنی‌ها، سطوح و احجام، همانند توابع شکل در روش اجزای محدود، از آن‌ها برای درون‌یابی و تقریب‌سازی هم استفاده می‌شود. به‌طور خلاصه از مزایای روش ایزوژئومتریک در مقایسه با دیگر روش‌های عددی می‌توان به مواردی اشاره کرد از جمله امکان مدل‌سازی دقیق‌تر، دقت قابل ملاحظه در اقناع شریط مرزی، عدم نیاز به شبکه‌بندی مجدد در مسائلی که مدل هندسی در حین حل دچار تغییر می‌شود، کاهش قابل ملاحظه اندازه دستگاه معادلات، انعطاف‌پذیری و سادگی در مسائل بهبود شبکه و قابلیت استفاده از این روش در حل معادلات دیفرانسیلی که ضرائب آن‌ها خود تابعی متغیر می‌باشند [۵].

در چند سال اخیر، روش ایزوژئومتریک به سرعت در زمینه‌های مختلفی مانند دینامیک سیالات، مکانیک سازه‌ها و یا الکترومغناطیس توسعه داده شده است. هم‌چنین در این زمینه یک کتاب به چاپ رسیده است که برای مطالعه بیشتر می‌توان به آن مراجعه کرد [۶]. خطاب‌بخش جدانشدنی تحلیل‌های عددی به‌شمار

تحلیل سازه از اولین گام‌های شناخت و ارزیابی صحیح مسائل مهندسی به‌شمار می‌رود. این تحلیل در نهایت منجر به حل معادلات دیفرانسیلی می‌شود که در حالت کلی دارای پیچیدگی بسیار زیادی است و تنها با استفاده از روش‌های عددی قابل حل می‌باشد. در دهه‌های اخیر روش‌های مختلف عددی توسعه یافته‌اند که از جمله مهمترین آن‌ها می‌توان به روش‌های تفاضل محدود، روش اجزای محدود و دسته روش‌های موسوم به روش‌های بدون مش اشاره کرد. از میان این روش‌ها، روش اجزای محدود به عنوان روشی قدرتمند در بسیاری از علوم مهندسی شناخته شده و توسعه یافته است. این روش در دهه ۱۹۵۰ تا ۱۹۶۰ شکل گرفت و امروزه با کاهش عیوب و ادغام آن با روش‌های تفاضل محدود و بدون مش بسیاری از مشکلات دانشمندان مکانیک محاسباتی را مرتفع ساخته است. اما علی‌رغم این پیشرفت قابل ملاحظه، هنوز هم نمی‌توان روشی یافت که کامل و بدون نقص باشد. از جمله این نواقص و مشکلات می‌توان به ضعف در تولید دقیق شکل مسائل دارای هندسه پیچیده، ضعف در مدل‌سازی دقیق مسائل با تغییرات شدید در خواص مصالح و نیز نیاز به تولید مکرر شبکه المان‌ها در برخی مسائل، نظیر مسائلی که در چارچوب لاگرانژی حل می‌شوند و یا مسائل بهینه‌سازی شکل سازه، اشاره نمود.

تقریباً یک دهه پس از شکل‌گیری روش اجزای محدود و بین سال‌های ۱۹۷۰ تا ۱۹۸۰ و به‌دلیل توسعه رایانه‌ها، پیشرفت‌های چشمگیری در علم مدل‌سازی هندسه به کمک رایانه (Computer Aided Design) شکل گرفت. واضح است که تحلیل مسائل مهندسی بر مبنای هندسه استوار است و استفاده از این پیشرفت‌ها می‌تواند کمک شایانی به تحلیل مهندسی در رفع نقاچیص خود نماید، اما به‌دلیل عدم هم‌زمانی

## ب) - اسپلاین و نربز

در این بخش به طور خلاصه و در حد نیاز به معرفی منحنی ها و سطوح بی - اسپلاین و نربز پرداخته می شود. برای آشنایی بیشتر، مراجعه به مراجع [8, 9] پیشنهاد می شود.

نربزها از بی - اسپلاینها ساخته می شوند. بی - اسپلاینها در یک فضای پارامتری (ناحیه) (Patch) تعریف می شوند. نواحی مذکور دامنه مدل سازی شده را به چندین زیردامنه تقسیم می کنند. یک بردار گرهی (Knot Vector) در فضای پارامتری یک بعدی از یک سری مختصات به صورت زیر تشکیل می شود [9].

$$\Xi = \left\{ \xi_{n+p+1}, \dots, \xi_2, \xi_1 \right\}, \quad \xi_i \geq \xi_{i+1} \quad i = 1, 2, \dots, n+p+1 \quad (1)$$

که در آن  $\xi$  آمین گره،  $p$  مرتبه چند جمله ای و  $n$  تعداد توابع شکل تشکیل دهنده بی - اسپلاین به شمار می رود. انواع مختلفی از بردارهای گرهای وجود دارد ولی در این بحث فقط از نوع خاصی از بردارهای Nonperiodic گرهای به نام بردارهای گرهای نامتناوب (Open knot vector) یا باز (Open) استفاده می کنیم. این نوع بردارها به شکل زیر نشان داده می شوند:

$$\Xi = \left\{ \underbrace{a, \dots, a}_{p+1}, \xi_{p+1}, \dots, \xi_{m-p-1}, \underbrace{b, \dots, b}_{p+1} \right\} \quad (2)$$

در این صورت آمین تابع پایه ای بی - اسپلاین از درجه  $p$  که با  $(\xi) N_{i,p}$  نشان داده می شود به صورت زیر تعریف می شود [9]:

$$N_{i,0}(\xi) = \begin{cases} 1 & \text{if } \xi_i \leq \xi_i \\ 0 & \text{otherwise} \end{cases} \quad (3)$$

$$N_{i,p}(\xi) = \frac{\xi - \xi_i}{\xi_{i+1} - \xi_i} N_{i,p-1}(\xi) + \frac{\xi_{i+p+1} - \xi}{\xi_{i+p+1} - \xi_{i+1}} N_{i+1,p-1}(\xi)$$

می رود و همواره باعث نگرانی پژوهشگران در قابلیت اعتماد نتایج بوده است. در حالت کلی روش های برآورد خطأ در دو دسته روش های بازیافت تنش (گرادیان) و روش های باقیماندهای قرار می گیرند [7]. استفاده از روش بازیافت تنش در تحلیل ایزوژئومتریک (Stress Recovery in Isogeometric analysis(SRI)) اولین بار توسط حسنه و همکاران مورد استفاده قرار گرفت [5]. اساس روش SRI برگرفته از خاصیت فوق هم گرایی تنش در نقاط انتگرال گیری گوسی است. در این روش با استفاده از نقاط فوق هم گرای گوسی برای هر مؤلفه تنش در حالت تنش و کرنش مسطح، یک سطح بهبود یافته تشکیل می شود که برای برآورد خطای ایزوژئومتریک مورد استفاده قرار می گیرد [5]. در تحقیق حاضر توسعه این روش در بازیافت تنش و برآورد خطای مسائل متقارن محوری دنبال می شود. هم چنین بررسی میزان تأثیر نقاط فوق هم گرای گوسی در تشکیل سطح تنش بهبود یافته مسائل متقارن محوری از دیگر اهداف این پژوهش به شمار می رود. بدین منظور به مدل سازی و تحلیل دو مثال نمونه با شرایط تقارن محوری و دارای حل تحلیلی پرداخته شده است. لوله بلند جدار ضخیم تحت فشار داخلی و خارجی و صفحه دایره ای شکل تحت بار متمرکز در مرکز، دو مثال حل شده در این پژوهش می باشند. با توجه به تشابه توزیع نرم خطای دقیق و تقریبی و بهبود دقیت مؤلفه های تنش بازیافتی نسب به حل ایزوژئومتریک برای دو مثال حل شده در این پژوهش، می توان بیان نمود که نقاط گوسی در تحلیل مسائل متقارن محوری نیز از خاصیت فوق هم گرایی مناسبی برخوردار می باشند و می توان از آن ها برای بهبود نتایج تحلیل ایزوژئومتریک مسائل متقارن محوری و برآورد خطای آن استفاده نمود.

تعریف شده‌اند.

و در نهایت، یک سطح نربز که در جهت  $\xi$  از درجه  $p$ ، و در جهت  $\eta$  از درجه  $q$  باشد، به صورت زیر تعریف می‌شود [9]:

$$S(\xi, \eta) = \frac{\sum_{i=0}^n \sum_{j=0}^m N_{i,p}(\xi) N_{j,q}(\eta) w_{i,j} P_i}{\sum_{i=0}^n \sum_{j=0}^m N_{i,p}(\xi) N_{j,q}(\eta) w_{i,j}}, \quad (8)$$

$0 \leq \xi, \eta \leq 1$

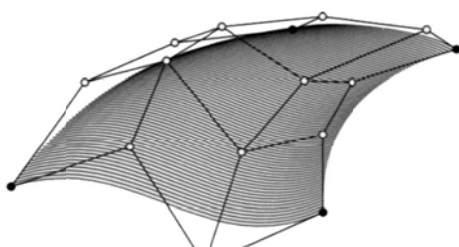
در عبارت فوق  $\{P_i\}$  شبکه نقاط کنترلی می‌باشد که در دو جهت تعریف شده است. همچنین  $\{w_{i,j}\}$  وزن‌ها و  $\{N_{i,p}(\xi)\}$  و  $\{N_{j,q}(\eta)\}$  توابع پایه‌ای بی‌اسپلاین هستند که بر روی بردارهای گره‌ای به صورت رابطه (۶) تعریف شده‌اند. در رابطه (۸) اگر تابع پایه‌ای نسبی قطعه‌ای را به صورت زیر تعریف کنیم:

$$R_{i,j}(\xi, \eta) = \frac{N_{i,p}(\xi) N_{j,q}(\eta) w_{i,j}}{\sum_{k=0}^n \sum_{l=0}^m N_{k,p}(\xi) N_{l,q}(\eta) w_{k,l}} \quad (9)$$

خواهیم داشت:

$$S(\xi, \eta) = \sum_{i=0}^n \sum_{j=0}^m R_{i,j}(\xi, \eta) P_i \quad (10)$$

در شکل (۱) شبکه نقاط کنترلی و سطح نربز به دست آمده از آن با تابع پایه درجه دو مشاهده می‌شود.



شکل ۱ شبکه نقاط کنترلی و سطح نربز مربوط به آن با تابع پایه درجه دو

با استفاده از تعاریف بالا، منحنی بی‌اسپلاین از درجه  $p$  به صورت زیر تعریف می‌شود [9]:

$$C(\xi) = \sum_{i=0}^n N_{i,p}(\xi) P_i \quad a \leq \xi \leq b \quad (4)$$

$C(\xi)$  یک منحنی چند جمله‌ای قطعه‌ای (Piecewise polynomial curve) است که در آن  $\{P_i\}$  نقاط کنترلی و  $\{N_{i,p}(\xi)\}$  توابع پایه‌ای بی‌اسپلاین هستند که روی بردار گره‌ای نامتناوبی به صورت رابطه (۲) با فرض  $a=0$  و  $b=1$  تعریف می‌شوند. اگر  $p$  درجه تابع پایه،  $n+1$  تعداد نقاط کنترلی و  $m+1$  تعداد گره‌ها باشند، آنگاه می‌توان رابطه  $m=n+p+1$  را برای آنها نوشت. به طرز مشابهی سطوح بی‌اسپلاین به صورت زیر تعریف می‌شود [9]:

$$S(\xi, \eta) = \sum_{i=0}^n \sum_{j=0}^m N_{i,p}(\xi) N_{j,q}(\eta) P_i \quad (5)$$

که در آن:

$$\Xi = \left\{ \underbrace{0, \dots, 0}_{p+1}, \underbrace{\xi_{p+1}, \dots, \xi_{r-p-1}}_{r-p}, \underbrace{1, \dots, 1}_{p+1} \right\}; \quad (6)$$

$$\mathcal{H} = \left\{ \underbrace{0, \dots, 0}_{q+1}, \underbrace{\eta_{q+1}, \dots, \eta_{s-q-1}}_{s-q}, \underbrace{1, \dots, 1}_{q+1} \right\}$$

به طوری که بردار گره‌ای  $\Xi$  دارای  $r+1$  گره و  $\mathcal{H}$  دارای  $s+1$  گره می‌باشد. یک منحنی نربز از درجه  $p$  به صورت زیر تعریف می‌شود [9]:

$$C(\xi) = \frac{\sum_{i=0}^n N_{i,p}(\xi) w_i P_i}{\sum_{i=0}^n N_{i,p}(\xi) w_i} \quad a \leq \xi \leq b \quad (V)$$

که در آن  $\{P_i\}$  نقاط کنترلی،  $\{w_i\}$  وزن‌ها و  $\{N_{i,p}(\xi)\}$  توابع پایه‌ای بی‌اسپلاین از درجه  $p$  هستند که بر روی بردار گره‌ای به صورت رابطه (۲)

کنیم که مؤلفه‌های اول و دوم مختصات این نقاط، ( $P_r, P_z$ )، بتوانند هندسه مسئله را در صفحه  $rZ$  برآورد کنند، در این صورت مؤلفه سوم مختصات این نقاط را طوری محاسبه می‌کنیم که درون یابی بین این نقاط به‌وسیله توابع پایه‌ای نربر نشان‌دهنده تغییر مکان آن نقطه باشد. در حقیقت می‌توان رویه‌ای تشکیل داد که تصویر آن روی صفحه  $Z$  نشان‌دهنده هندسه مسئله و ارتفاع رویه در هر نقطه نسبت به صفحه  $Z$  نشان‌دهنده تغییر مکان آن نقطه باشد. بنابراین اگر تغییر شکل‌های شعاعی (در جهت  $r$ ) و محوری (در جهت  $z$ ) هر نقطه را به ترتیب با  $u$  و  $v$  نشان دهیم، می‌توان تغییر مکان هر نقطه داخل زیردامنه نربر ناحیه را به صورت زیر از روی نقاط کنترلی مربوط درون یابی کرد.

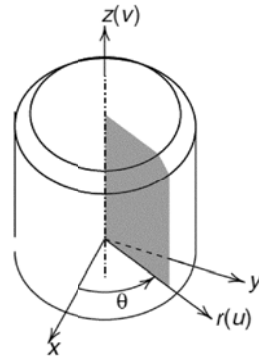
$$\mathbf{u} \approx \hat{\mathbf{u}} = \begin{cases} u(r, z) \\ v(r, z) \end{cases} = \begin{cases} \sum_{i=1}^n \sum_{j=1}^m R_{i,j}(\xi, \eta) \mathbf{P}_{u,i,j} \\ \sum_{i=1}^n \sum_{j=1}^m R_{i,j}(\xi, \eta) \mathbf{P}_{v,i,j} \end{cases} \quad (11)$$

در رابطه بالا  $\mathbf{P}_{i,j}$  ها نمایش‌گر بردار مؤلفه‌های سوم مختصات نقاط کنترلی نربر،  $R_{i,j}$  توابع پایه‌ای نربر و  $n$  و  $m$  تعداد نقاط کنترلی در جهت‌های  $r$  و  $z$  می‌باشند.

با توجه به خاصیت بازه تأثیر توابع نربر که بیان می‌کند برای هر  $\eta$  و  $\xi$  فقط تعداد محدودی از این توابع غیر صفر می‌باشند [9]، می‌توان برای کم کردن هزینه محاسبات، معادله (11) را به صورت زیر تغییر داد. بدین منظور اگر فرض کنیم  $\eta$  و  $\xi$  به ترتیب در دهانه‌های گرهای  $i$  و  $j$  قرار دارند (یعنی  $(\xi_i, \eta_i) \in \Xi$  و  $(\xi_j, \eta_j) \in \Xi$ ، و درجه توابع پایه‌ای در جهت بردار گرهای  $E$ ،  $p$  و در جهت بردار گرهای  $H$ ،  $q$  باشند، آنگاه فقط حداقل  $(p+1)(q+1)$  تابع پایه‌ای غیر صفر وجود خواهد داشت. در این صورت می‌توان معادله (11) را به معادله

## سازه‌های دارای تقارن محوری

تحلیل اجسامی که تقارن محوری دارند و بار اعمالی به آنها نیز متقارن محوری است در بسیاری از پژوهش‌های مهندسی مورد نیاز است. از کاربردهای این نوع تحلیل می‌توان بررسی تنفس و کرنش‌های اعمالی به یک مخزن بزرگ تحت فشار، تحلیل جریان سیال در لوله‌ها، دیسک‌های توربین‌ها و پی‌های استوانه‌ای قرار گرفته بر روی بستر خالکی را نام برد. سازه‌های متقارن محوری سازه‌هایی هستند که از نظر هندسه، خواص ماده، شرایط مرزی و بارگذاری در دستگاه مختصات استوانه‌ای نسبت به  $\theta$  مستقل هستند (شکل ۲). وجود تقارن محوری تضمین می‌کند که هیچ نوع حرکت و تغییر مکانی در امتداد زاویه  $\theta$  وجود ندارد. بنابراین مسئله سه‌بعدی در مختصات  $(r, \theta, z)$  به مسئله دو بعدی در صفحه  $rZ$  کاهش پیدا می‌کند.



شکل ۲ تحلیل دو بعدی در حالت تقارن محوری

## فرمول‌بندی تحلیل ایزوژئومتریک در مسائل متقارن محوری

در روش ایزوژئومتریک، مقدار مجھول مسئله در حالت دو بعدی، (به طور مثال مؤلفه تغییر مکان جهت  $r$ ) به عنوان یک سطح نربر، طوری تعیین می‌شود که ارتفاع سطح تشکیل شده از تراز مینا در هر نقطه از دامنه، بیان کننده مقدار مجھول مسئله در آن مکان باشد. در مسائل متقارن محوری، اگر نقاط کنترلی را به گونه‌ای انتخاب

دارای چهار مؤلفه مستقل از هم می‌باشد که به صورت

زیر تعریف می‌شود:

$$\boldsymbol{\epsilon} = \begin{Bmatrix} \epsilon_{rr} \\ \epsilon_{zz} \\ \epsilon_{\theta\theta} \\ \epsilon_{rz} \end{Bmatrix} \quad (17)$$

با معلوم بودن تغییر مکان در نقاط داخل هر زیردامنه، می‌توان کرنش‌ها را در هر نقطه دلخواه به دست آورد. در این صورت مطابق رابطه (۱۸) خواهیم

داشت:

$$\boldsymbol{\epsilon} = \mathbf{L}\mathbf{u} = \begin{bmatrix} \frac{\partial u}{\partial r} & 0 \\ 0 & \frac{\partial v}{\partial z} \\ \frac{u}{r} & 0 \\ \frac{\partial v}{\partial r} & \frac{\partial u}{\partial z} \end{bmatrix} \quad (18)$$

$\mathbf{u}$  بردار تغییر مکان‌ها،  $\boldsymbol{\epsilon}$  کرنش، و  $\mathbf{L}$  یک عملگر دیفرانسیلی است که برای مسائل متقارن محوری به صورت رابطه (۱۹) تعریف می‌شود:

$$\mathbf{L} = \begin{bmatrix} \frac{\partial}{\partial r} & 0 \\ 0 & \frac{\partial}{\partial z} \\ \frac{1}{r} & 0 \\ \frac{\partial}{\partial r} & \frac{\partial}{\partial z} \end{bmatrix} \quad (19)$$

با جای‌گذاری رابطه (۱۳) در (۱۸) می‌توان

کرنش‌ها را به صورت زیر تقریب زد:

$$\boldsymbol{\epsilon} = \mathbf{B}\bar{\mathbf{P}} \quad (20)$$

که با توجه به ماتریس دیفرانسیل گیری  $\mathbf{L}$  ماتریس  $\mathbf{B}$  برای مسائل متقارن محوری به صورت رابطه (۲۱) خواهد بود. همچنین در مسائل متقارن محوری می‌توان چهار مؤلفه تنش را به صورت رابطه (۲۲) برای بردار تنش‌ها در نظر گرفت.

(۱۲) کاهش داد.

همچنین می‌توان معادله (۱۲) را به شکل ماتریسی

معادله (۱۳) نوشت.

$$\mathbf{u} \approx \bar{\mathbf{u}} = \begin{Bmatrix} u(r, z) \\ v(r, z) \end{Bmatrix} = \begin{Bmatrix} \sum_{k=i-p}^i \sum_{l=j-q}^j R_{k,l}(\xi, \eta) P_{u,k,l} \\ \sum_{k=i-p}^i \sum_{l=j-q}^j R_{k,l}(\xi, \eta) P_{v,k,l} \end{Bmatrix} \quad (12)$$

$$\bar{\mathbf{u}} = \bar{\mathbf{R}} \cdot \bar{\mathbf{P}} \quad (13)$$

که در آن  $\bar{\mathbf{u}}$  ماتریس ستونی تغییر مکان‌ها به شکل زیر است:

$$\bar{\mathbf{u}}^{i,j} = \begin{bmatrix} u_{i,j} & v_{i,j} \end{bmatrix}^T \quad (14)$$

همچنین  $\bar{\mathbf{R}}$  ماتریس توابع پایه‌ای نسبی نربز و  $\bar{\mathbf{P}}$  ماتریس ستونی مختصات نقاط کنترلی به شکل زیر هستند:

$$\bar{\mathbf{R}} = \begin{bmatrix} R_{i-p,j-q}(\xi, \eta) & 0 \\ 0 & R_{i-p,j-q}(\xi, \eta) \\ \vdots & \vdots \\ R_{i-p,j}(\xi, \eta) & 0 \\ 0 & R_{i-p,j}(\xi, \eta) \\ \vdots & \vdots \\ R_{i,j}(\xi, \eta) & 0 \\ 0 & R_{i,j}(\xi, \eta) \end{bmatrix}^T \quad (15)$$

$$\bar{\mathbf{P}} = \begin{bmatrix} P_{u,i-p,j-q} \\ P_{v,i-p,j-q} \\ \vdots \\ P_{u,i-p,j} \\ P_{v,i-p,j} \\ \vdots \\ P_{u,i,j} \\ P_{v,i,j} \end{bmatrix} \quad (16)$$

در مسائل دارای متقارن محوری بردار کرنش‌ها

از همین طریق می‌توان برای محاسبه ماتریس ضرایب در روش ایزوژئومتریک نیز استفاده کرد؛ به طوری که اگر در یک زیردامنه به حجم  $V$  که دارای مرزهای  $\Gamma$  می‌باشد، نیروهای کالبدی  $b$  (Body forces) و نیروهای سطحی (Traction forces)  $t$  وجود داشته باشند، می‌توان نوشت:

$$\int_V \delta \varepsilon^T \sigma dV - \int_V \delta u^T b dV - \int_{\Gamma} \delta u^T t d\Gamma = 0 \quad (25)$$

همچنین با استفاده از معادلات (۲۰ و ۲۳) می‌توان نوشت:

$$\delta u = \bar{R} \delta \bar{P} \quad (26)$$

$$\delta \varepsilon = B \delta \bar{P} \quad (27)$$

حال با جایگذاری روابط فوق در معادله (۲۵) داریم:

$$\int_V \delta \bar{P}^T B^T \sigma dV - \int_V \delta \bar{P}^T \bar{R}^T b dV - \int_{\Gamma} \delta \bar{P}^T \bar{R}^T t d\Gamma = 0 \quad (28)$$

حال با حذف  $\delta \bar{P}$  و استفاده از رابطه (۲۳) خواهیم داشت:

$$\int_V B^T D \varepsilon dV - \int_V B^T D \varepsilon_0 dV + \int_V B^T \sigma_0 dV - \int_V \bar{R}^T b dV - \int_{\Gamma} \bar{R}^T t d\Gamma = 0. \quad (29)$$

از طرفی با جایگذاری  $\varepsilon$  از معادله (۲۰) خواهیم داشت:

$$\int_V B^T D B \bar{P} dV - \int_V B^T D \varepsilon_0 dV + \int_V B^T \sigma_0 dV - \int_V B^T \sigma_0 dV - \int_V \bar{R}^T b dV - \int_{\Gamma} \bar{R}^T t d\Gamma = 0. \quad (30)$$

در نهایت می‌توان رابطه (۳۰) را با فرض عدم وجود تنش‌ها و کرنش‌های اولیه به صورت رابطه (۳۱) نوشت.

$$B = L \bar{R} = \begin{bmatrix} \frac{\partial R(\xi, \eta)}{\partial r} & 0 & \dots \\ 0 & \frac{\partial R(\xi, \eta)}{\partial z} & \dots \\ \frac{R(\xi, \eta)}{r} & 0 & \dots \\ \frac{\partial R(\xi, \eta)}{\partial z} & \frac{\partial R(\xi, \eta)}{\partial r} & \dots \end{bmatrix} \quad (21)$$

$$\sigma = \begin{bmatrix} \sigma_{rr} \\ \sigma_{zz} \\ \sigma_{\theta\theta} \\ \sigma_{rz} \end{bmatrix} \quad (22)$$

با فرض وجود رفتار خطی کشسان، رابطه بین تنش‌ها و کرنش‌ها خطی و به صورت زیر خواهد بود:

$$\sigma = D(\varepsilon - \varepsilon_0) + \sigma_0 \quad (23)$$

$\sigma_0$  و  $\varepsilon_0$  تنش‌ها و کرنش‌های اولیه و  $D$  ماتریس خواص مصالح می‌باشد که برای مصالح همسانگرد از رابطه (۲۴) محاسبه می‌شود:

$$D = \frac{E}{(1+v)(1-2v)} \times \begin{bmatrix} (1-v) & v & v & 0 \\ v & (1-v) & v & 0 \\ v & v & (1-v) & 0 \\ 0 & 0 & 0 & \frac{(1-2v)}{2} \end{bmatrix} \quad (24)$$

یکی از روش‌هایی که در تحلیل‌های عددی برای همارزسازی استاتیکی نیروهای گرهای با تنش‌های مرزی و بارهای گسترده و نهایتاً محاسبه ماتریس سختی استفاده می‌شود، به کار بردن روش تغییرمکان مجازی می‌باشد. به این ترتیب که ابتدا یک تغییرمکان گرهای فرضی (مجازی) را اعمال می‌کنیم و کارهای داخلی و خارجی را که نیروهای مختلف در اثنای این تغییرمکان انجام می‌دهند، مساوی قرار می‌دهیم [7].

فضای پارامتری نریز یعنی  $\xi$  و  $\eta$  می‌باشد، برای محاسبه این مشتقات ژاکوبین زیر را تعریف می‌کنیم.

$$\mathbf{J}_1 = \begin{bmatrix} \frac{\partial r}{\partial \xi} & \frac{\partial z}{\partial \xi} \\ \frac{\partial r}{\partial \eta} & \frac{\partial z}{\partial \eta} \end{bmatrix} \quad (36)$$

با این تعریف داریم:

$$\begin{bmatrix} \frac{\partial R}{\partial r} \\ \frac{\partial R}{\partial z} \end{bmatrix} = \mathbf{J}_1^{-1} \begin{bmatrix} \frac{\partial R}{\partial \xi} \\ \frac{\partial R}{\partial \eta} \end{bmatrix} \quad (37)$$

که در آن  $\frac{\partial R}{\partial \xi}$  و  $\frac{\partial R}{\partial \eta}$  مشتقات جزئی توابع پایه‌ای نریز می‌باشند. همچنین با توجه به این‌که همه پارامترهای انتگرال ماتریس سختی در دستگاه مختصات فضای پارامتری نریز بیان شده است، ساده‌ترین راه برای محاسبه انتگرال سختی استفاده از همین دستگاه مختصات می‌باشد. این عمل باعث ایجاد ژاکوبین  $\det J_1$  در رابطه انتگرال ماتریس سختی می‌شود.

$$\begin{aligned} drdz &= \det J_1 d\xi d\eta \\ \Rightarrow K_{\text{patch}} &= 2\pi \int_0^1 \int_0^1 B^T(\xi, \eta) D(B)(\xi, \eta) \\ &\quad r \det J_1 d\xi d\eta \end{aligned} \quad (38)$$

برای محاسبه انتگرال فوق می‌توان از روش گوس استفاده کرد [7]. نقاط گوس نقاطی از پیش تعیین شده هستند که برای المان‌های مختلف پایه محل و وزن آن‌ها محاسبه شده است. در المان‌های چهارضلعی این نقاط در دستگاه مختصات سرنديپیتی (Serendipity) مشخص شده است [7]. بنابراین برای این‌که بتوانیم از این نقاط ارائه شده بهره ببریم، بایستی از یک نگاشت

$$KU = F \quad (31)$$

که در آن  $K$  ماتریس ضرایب (ماتریس سختی)،  $U$  مجهولات مسئله (مختصه سوم نقاط کنترلی) و  $F$  نیروهای خارجی وارد بر زیردامنه می‌باشد که به صورت زیر تعریف می‌شوند:

$$K = \int_V B^T D B dv \quad (32)$$

$$F = \int_V \bar{R}^T b dV + \int_{\Gamma} \bar{R}^T t d\Gamma \quad (33)$$

محاسبه انتگرال ماتریس سختی در مسائل متقارن محوری با استفاده از المان حجمی نریز امکان‌پذیر است که از دوران یک المان سطحی نریز حول محور تقارن ایجاد می‌شود و به صورت یک حلقه با سطح مقطع چهارضلعی می‌باشد. بنابراین می‌توان انتگرال ماتریس سختی را برای هر زیردامنه نریز به صورت زیر نوشت:

$$K_{\text{patch}} = \iiint_V B^T D B r dr dz d\theta \quad (34)$$

بایستی توجه داشت که جزء حجم در مختصات استوانه‌ای به صورت  $dv = r dr dz d\theta$  می‌باشد. همچنین با توجه با این نکته که مسائل متقارن محوری مستقل از  $\theta$  می‌باشند، می‌توان این انتگرال را به صورت دو بعدی زیر تبدیل کرد:

$$K_{\text{patch}} = 2\pi \iiint_V B^T D B r dr dz \quad (35)$$

همان‌طور که ملاحظه می‌شود برای محاسبه ماتریس سختی احتیاج به محاسبه ماتریس  $B$  هست که در آن نیاز به محاسبه مشتق  $\frac{\partial R}{\partial r}$  و  $\frac{\partial R}{\partial z}$  می‌باشد. از آنجا که  $R$ ،  $r$  و  $z$  هر سه توابعی از مختصات

زیر در دستگاه مختصات سرندیپیتی المان‌ها نوشته:

$$K_{\text{patch}} = 2\pi \int_{-1}^1 \int_{-1}^1 B^T(r,s) DB(r,s) r \det J_1 \det J_2 dr ds \quad (42)$$

و در نهایت انتگرال ماتریس سختی به روش گوس به صورت زیر محاسبه می‌شود.

$$K_{\text{patch}} = 2\pi \sum_{j=1}^m \sum_{i=1}^n B^T(r,s) DB(r,s) r \det J_1 \det J_2 w_i w_j \quad (43)$$

که در آن  $m$  و  $n$  تعداد نقاط گوس در جهت  $r$  و  $s$  در هر المان و  $w_i w_j$  وزن نقاط گوس می‌باشد.

لازم به ذکر است که در تحلیل ایزوژئومتریک حداقل تعداد نقاط مورد نیاز برای انتگرال‌گیری عددی به روش گوس با توجه به مرتبه توابع شکل از مورد مشابه آن در اجزای محدود بیشتر است [10]. در شکل (۳) فضای فیزیکی و فضای پارامتری مربوط به آن و همچنین فضای انتگرال‌گیری عددی یک المان نزیر ترسیم شده است. همان‌طور که مشاهده می‌شود حداقل تعداد نقاط انتگرال‌گیری گوس برای توابع شکل مرتبه دو در هر جهت سه نقطه می‌باشد که این تعداد در روش اجزای محدود دو نقطه در هر جهت است.

استفاده کنیم؛ به گوشه‌ای که این نگاشت مختصات نقاط را به شده در دستگاه سرندیپیتی  $(r,s)$  المان  $i$  را به دستگاه مختصات قرمال زیردامنه نزیر  $(\xi, \eta)$  منتقل می‌کند (رابطه ۳۹).

$$\begin{aligned} \xi &= \frac{1}{2} [(\xi_{i+1} - \xi_i)r + (\xi_{i+1} + \xi_i)] \\ \eta &= \frac{1}{2} [(\eta_{i+1} - \eta_i)s + (\eta_{i+1} + \eta_i)] \end{aligned} \quad (39)$$

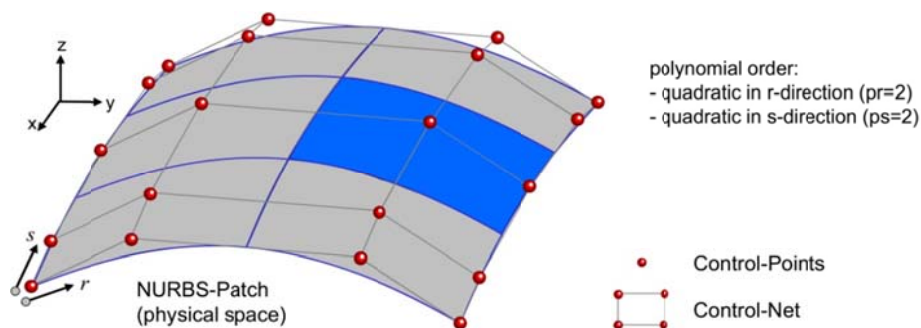
در روابط فوق  $r, s$  مؤلفه‌های مختصات نقاط در دستگاه سرندیپیتی المان و  $\xi, \eta$  مؤلفه‌های مختصات در دستگاه نرمال زیردامنه نزیر می‌باشد. این نگاشت در انتگرال‌گیری باعث ایجاد ژاکوبین به صورت زیر می‌شود:

$$J_2 = \begin{bmatrix} \frac{\partial \xi}{\partial r} & \frac{\partial \xi}{\partial s} \\ \frac{\partial \eta}{\partial r} & \frac{\partial \eta}{\partial s} \end{bmatrix}, \quad d\xi d\eta = \det J_2 dr ds \quad (40)$$

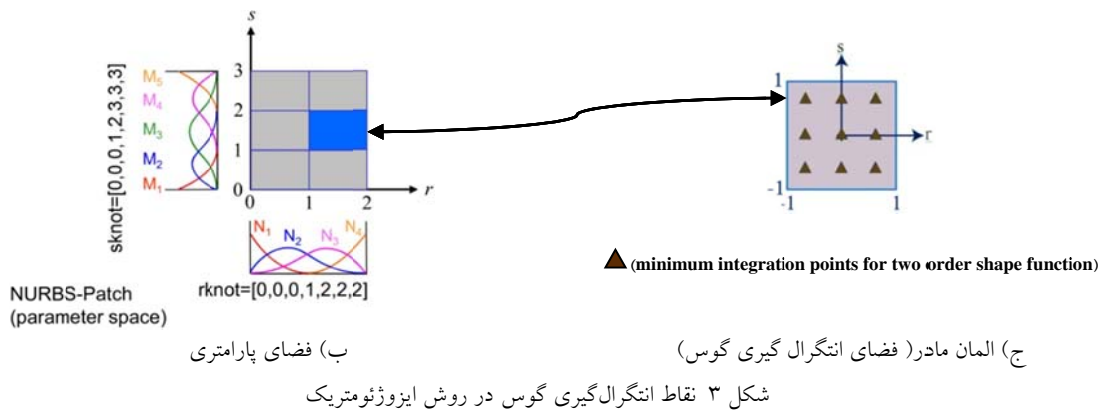
که در آن

$$\begin{aligned} \frac{\partial \xi}{\partial r} &= \frac{1}{2} (\xi_{i+1} - \xi_i), & \frac{\partial \eta}{\partial r} &= 0 \\ \frac{\partial \xi}{\partial s} &= 0, & \frac{\partial \eta}{\partial s} &= \frac{1}{2} (\eta_{i+1} - \eta_i) \end{aligned} \quad (41)$$

بنابراین می‌توان رابطه ماتریس سختی را به شکل نهایی



الف) فضای فیزیکی که از یک ناحیه (patch) تشکیل شده است



محوری این نقاط فوق همگرا بر حداقل تعداد نقاط گوسی مورد نیاز المان چهار ضلعی منطبق هستند (شکل ۳). مختصات نقاط کنترلی سطح بهینه تنش با مینیمم کردن فاصله بین این سطح فرضی و سطح تنش به دست آمده از حل ایزوژئومتریک در نقاط گوس المان های هر ناحیه با استفاده از روش حداقل مجموع مربعات محاسبه می شود.

در مسائل متقارن محوری، می توان سطح بهبود یافته هر یک از مؤلفه های تنش را با توجه به توابع نزدیک به صورت زیر در نظر گرفت:

$$\sigma^* = \begin{pmatrix} \sigma_{\pi}^* \\ \sigma_{zz}^* \\ \sigma_{00}^* \\ \sigma_{rz}^* \end{pmatrix} = \begin{pmatrix} R^T P_{\pi\pi} \\ R^T P_{zz} \\ R^T P_{00} \\ R^T P_{rz} \end{pmatrix} \quad (44)$$

که در آن  $P$  و  $R$  مطابق روابط (۱۶) و (۱۵) تعریف می شوند. همان طور که مشاهده می شود، تنها پارامتر مجھول برای تعیین سطح هر مؤلفه تنش، مختصات سوم نقاط کنترلی (بردار  $P$ ) می باشد. برای تعیین این مقادیر، مجموع مربعات اختلاف تنش بین مقدار به دست آمده از تحلیل ایزوژئومتریک و تنش بهبود یافته را در نقاط گوس مینیمم می کنیم. برای این منظور تابع  $F(P)$  را برای هر مؤلفه تنش به صورت زیر تعریف می کنیم:

$$F(P_{\pi\pi}) = \sum_{l=1}^K (R_l^T P_{\pi\pi} - \bar{\sigma}_{\pi\pi})^2 \quad (45)$$

## تشريح روش برآورده خطا در مسائل متقارن محوری

در این روش، میدان تنش بهبود یافته برای هر مؤلفه تنش در هر ناحیه یه صورت یک سطح فرضی در نظر گرفته می شود. این سطح فرضی با استفاده از توابع شکل نزدیک که برای تخمینتابع مجھول (جایه جایی) استفاده شده اند، به دست می آید [5].

یک سطح نزدیک زمانی به دست خواهد آمد که مختصات نقاط کنترلی آن مشخص شده باشد. در مسائل متقارن محوری با تعریف مختصات  $\pi$  و  $z$  هر نقطه کنترلی توسط کاربر، تنها مؤلفه مجھول برای تعیین سطح بهبود یافته تنش، مؤلفه سوم نقطه کنترلی می باشد. نحوه محاسبه مختصات سوم نقاط کنترلی به نحوی است که سطح تنش جدید به دست آمده به دست آمده است، به یک سطح تنش بهبود یافته تبدیل می شود. اساس محاسبه مختصات نقاط کنترلی و در نتیجه به دست آوردن سطح تنش بهبود یافته برگرفته از خاصیت نقاطی است که در آنها تنش به دست آمده از تحلیل تقریبی نسبت به سایر نقاط دقیق بیشتری دارد. در این نقاط مرتبه همگرایی گرادیان یک تابع، یک مرتبه از مقداری که از تقریب تابع شکل مربوط به حل تقریبی انتظار می رود، بالاتر است. به همین دلیل به این نقاط، نقاط فوق همگرا گفته می شود که اولین بار توسط بارلو مطرح شده است [11]. در تحلیل ایزوژئومتریک مسائل متقارن

## نرم خطای انرژی

استفاده از معیارهای مختلفی برای تعیین میزان خطا متدال است. یکی از معروف‌ترین معیارهای بیان خطای معيار خطای انرژی است. طبق تعریف، نرم خطای انرژی دقیق تنش برای یک المان به صورت زیر بیان می‌شود [7]:

$$\|e\| = \left[ \int_{\Omega} (\sigma - \bar{\sigma})^T D^{-1} (\sigma - \bar{\sigma}) d\Omega \right]^{\frac{1}{2}} \quad (50)$$

در این رابطه  $\sigma$  مقدار دقیق بردار تنش،  $\bar{\sigma}$  تنش به دست آمده از حل تقریبی،  $D$  ماتریس الاستیسیته و  $\Omega$  دامنه المان می‌باشد. با توجه به این که در حالت کلی، جز در مواردی خاص که حل تئوری بعضی از مسائل الاستیسیته موجود می‌باشد، حل دقیق مسئله در دسترس نمی‌باشد، لذا به جای استفاده از میزان دقیق تنش از میزان بهبود یافته آن برای محاسبه نرم خطای انرژی استفاده می‌شود. در این صورت نرم خطای انرژی تقریبی به صورت زیر تعریف می‌شود:

$$\|e\| \approx \|\bar{e}\| = \left[ \int_{\Omega} (\sigma^* - \bar{\sigma})^T D^{-1} (\sigma^* - \bar{\sigma}) d\Omega \right]^{\frac{1}{2}} \quad (51)$$

که در اینجا  $\sigma^*$  تنش بازیافتی و  $\bar{\sigma}$  تنش به دست آمده از تحلیل ایزوژئومتریک می‌باشد. در نهایت مجموع نرم خطای انرژی المان‌ها، نرم خطای انرژی کل دامنه را تشکیل می‌دهد.

در ادامه برای بررسی کارایی این تخمین‌زننده خطا در برآورد خطای تحلیل ایزوژئومتریک مسائل مقارن محوری به مدل‌سازی و مقایسه نرم خطای انرژی تقریبی و نرم خطای انرژی دقیق و نحوه تغییرات مؤلفه‌های تنش برای دو مسئله نمونه الاستیسیته که دارای حل تحلیلی می‌باشند، پرداخته شده است.

$$F(P_{zz}) = \sum_{l=1}^K (R_l^T P_{zz} - \bar{\sigma}_{zz})^2 \quad (46)$$

$$F(P_{\theta\theta}) = \sum_{l=1}^K (R_l^T P_{\theta\theta} - \bar{\sigma}_{\theta\theta})^2 \quad (47)$$

$$F(P_{rz}) = \sum_{l=1}^K (R_l^T P_{rz} - \bar{\sigma}_{rz})^2 \quad (48)$$

که در آن  $\bar{\sigma}$  مؤلفه تنش به دست آمده از تحلیل ایزوژئومتریک و  $K$  تعداد نقاط گوس موجود در هر ناحیه می‌باشد. در نهایت با مشتق‌گیری از تابع  $F(P)$  نسبت به مؤلفه‌های مجھول بردار  $P$  و مساوی صفر قرار دادن آن مختصات نقاط کنترلی صفحه تنش بهبود یافته هر یک از مؤلفه‌ها به دست می‌آید. به طور مثال برای مؤلفه تنش بهبود یافته  $\sigma^*$  خواهیم داشت:

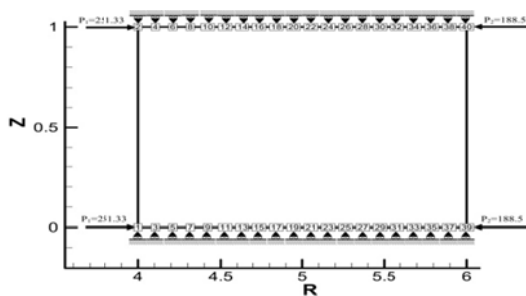
$$\frac{\partial F(P_{rr})}{\partial P_{i,j}} = 0 \Rightarrow AP_{rr} = B_{rr} \Rightarrow P_{rr} = A^{-1}B_{rr} \quad (49)$$

که در آن:

$$A = \sum_{i=1}^K R_i R_i^T \quad ; \quad B_{rr} = \sum_{i=1}^K R_i \bar{\sigma}_{rr}$$

با داشتن مختصات نقاط کنترلی هر یک از مؤلفه‌های تنش، سطح مربوط به آن نیز به دست می‌آید. همان‌گونه که در ادامه خواهیم دید، این میدان مؤلفه تنش نسبت به سطح تنش به دست آمده از روش ایزوژئومتریک دقیق‌تر می‌باشد و از این‌رو می‌تواند به عنوان یک تخمین‌زننده بالقوه خطا برای تحلیل ایزوژئومتریک به کار رود. روش کار این تخمین‌زننده خطاب دین صورت است که با در نظر گرفتن اختلاف بین سطح تنش بازیافتی و سطح تنش به دست آمده از تحلیل ایزوژئومتریک برای هر المان، به صورت تقریبی به یک معیاری برای تعیین میزان خطای موجود در آن المان دست پیدا کرد.

برای مدل سازی و تحلیل این مسئله به روش ایزوژئومتریک از یک ناحیه و ۴۰ نقطه کنترلی استفاده شده است. در شکل (۵) مختصات نقاط کنترلی و ترتیب نامگذاری آنها به همراه شرایط مرزی اعمال شده به نقاط کنترلی مربوط نشان داده شده است.



شکل ۵ نقاط کنترلی و شرایط مرزی لوله جدار ضخیم تحت فشار داخلی و خارجی

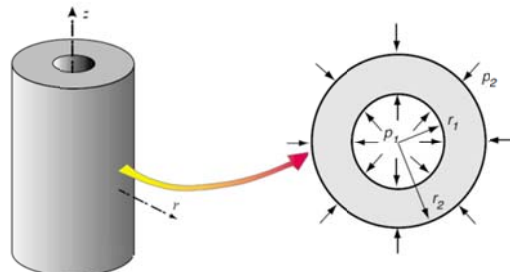
برای نمایش بهتری از کارایی تخمین زننده خطای پیشنهادی با توجه به مرجع [13] از توابع شکل نریز مرتبه دو استفاده شده است. هم‌چنین با توجه با مرتبه تابع شکل از نه نقطه گوسی برای انتگرال‌گیری عددی و نقاط بهینه تنش استفاده شده است. بردارهای گرهی در جهات  $\eta$  و  $\xi$  به صورت زیر می‌باشند.

$$\begin{aligned} \eta &= \{0, 0, 1, 1\} \\ \xi &= \left\{ \begin{array}{l} 0, 0, 0.053, 0.105, 0.158, 0.210, 0.263, 0.316, \\ 0.368, 0.421, 0.4746, 0.526, 0.579, 0.632, \\ 0.684, 0.737, 0.789, 0.842, 0.895, 0.947, 1, 1 \end{array} \right\} \end{aligned}$$

در شکل (۶)، به عنوان نمونه، کانتور تنش مؤلفه  $\sigma_r$  برای حل دقیق، ایزوژئومتریک و حل بهبود یافته نشان داده شده است. همان‌طور که مشاهده می‌شود نحوه تغییرات تنش بهبود یافته تشابه بیشتری با حل دقیق نسبت به حل ایزوژئومتریک دارد.

## لوله بلند جدار ضخیم تحت فشار داخلی و خارجی

در این قسمت به بیان نتایج گرفته شده از مدل سازی یک لوله بلند جدار ضخیم تحت فشار داخلی و خارجی یکنواخت و در شرایط تقارن محوری، توسط تحلیل ایزوژئومتریک و بازیابی تنش‌های آن پرداخته می‌شود (شکل ۴).



شکل ۴ لوله جدار ضخیم تحت فشار داخلی و خارجی

در این مسئله علاوه بر داشتن شرایط تقارن محوری، کرنش در جهت محور  $z$  نیز به دلیل بلند بودن طول لوله صفر در نظر گرفته می‌شود. پارامترهای به کار برده شده در تحلیل این مسئله به صورت زیر می‌باشند:

$$r_1 = 4, r_2 = 6, P_1 = 20, P_2 = 10, E = 2 \times 10^5, \nu = 0.3$$

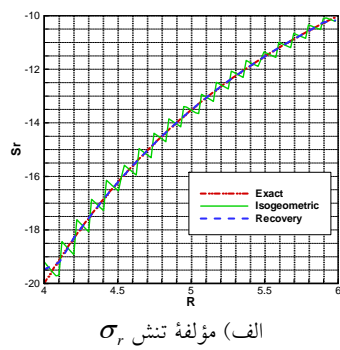
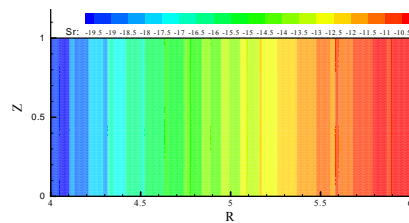
تشاهی دقیق این مسئله با توجه به حل تحلیلی آن به صورت روابط (۵۲-۵۴) ارائه شده است [12].

$$\sigma_r = \frac{r_1^2 r_2^2 (P_2 - P_1)}{r_2^2 - r_1^2} \frac{1}{r^2} + \frac{r_1^2 p_1 - r_2^2 p_2}{r_2^2 - r_1^2} \quad (52)$$

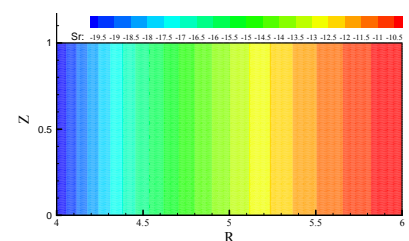
$$\sigma_\theta = -\frac{r_1^2 r_2^2 (P_2 - P_1)}{r_2^2 - r_1^2} \frac{1}{r^2} + \frac{r_1^2 p_1 - r_2^2 p_2}{r_2^2 - r_1^2} \quad (53)$$

$$\sigma_z = \nu (\sigma_r + \sigma_\theta) = 2\nu \frac{r_1^2 p_1 - r_2^2 p_2}{r_2^2 - r_1^2}, \sigma_{rz} = 0 \quad (54)$$

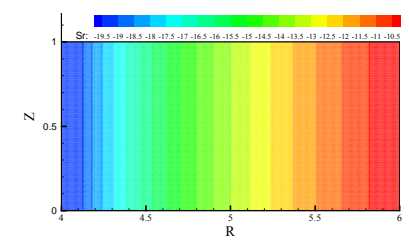
و نرم خطای انرژی تقریبی نشان داده شده است. همان‌طور که مشاهده می‌شود، تشابه در نحوه توزیع نرم خطای تقریبی نسبت به نرم خطای دقیق در این مثال، نشانه کارایی مناسب محاسبه‌گر خطای پیشنهادی برای برآورد خطای مسائل مقابله محوری می‌باشد. به‌منظور مقایسه دیگری از نحوه تغییرات تنش دقیق با حل ایزوژئومتریک و بهبود یافته، به ترسیم نمودار تغییرات تنش در مسیر افقی به مختصات‌های  $(r, 0.5)$  پرداخته شده است که در شکل (۸) مشاهده می‌شود.

الف) مؤلفه تنش  $\sigma_r$ 

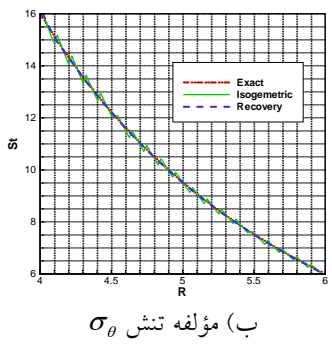
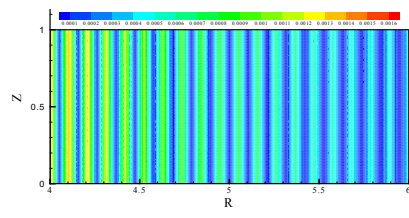
الف) حل ایزوژئومتریک



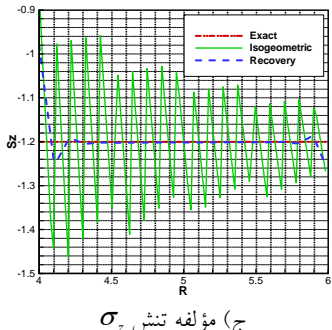
ب) حل دقیق



ج) حل بهبود یافته

شکل ۶ کانتور تنش مؤلفه  $\sigma_r$  لوله جدار ضخیمب) مؤلفه تنش  $\sigma_\theta$ 

الف) حل دقیق

ج) مؤلفه تنش  $\sigma_\theta$ شکل ۸ نمودار تغییرات مؤلفه‌های تنش لوله جدار ضخیم در مسیر  $Z=0.5$ 

شکل ۷ توزیع نرم خطای انرژی لوله جدار ضخیم

در شکل (۷) نحوه توزیع نرم خطای انرژی دقیق

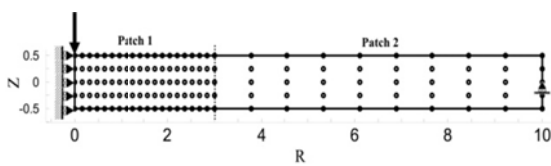


ب) نرم خطای تقریبی

در شکل (۷) نحوه توزیع نرم خطای انرژی دقیق

خوبی برای بررسی کارایی تخمین زنده‌های خطابه شمار نمی‌روند؛ اما هدف از ارائه این مثال، بررسی رفتار تخمین زنده خطابه می‌باشد. با توجه به این نکته که در نقاط تکین  $i=0$  خطای زیادی نسبت به سایر نقاط وجود دارد، لذا یک تخمین زنده خطای مناسب باید به طور نسبی قادر به نمایش این توزیع خطابه باشد. در صورتی که بهبود شبکه با توجه به نتایج بدست آمده از تخمین زنده خطابه مورد نظر باشد، تخمین زنده خطابی که دارای آرایشی مناسب باشد می‌تواند برنامه را در هر مرحله به بهبود محلی شبکه در اطراف نوک ترک راهنمایی کند.

برای مدل‌سازی و تحلیل این مسئله به روش ایزوژئومتریک از دو ناحیه و ۱۴۵ نقطه کنترلی استفاده شده است. در شکل (۱۰) مختصات نقاط کنترلی در هر ناحیه و شرایط مرزی اعمال شده به آنها نشان داده شده است.



شکل ۱۰ نقاط کنترلی و شرایط مرزی صفحه دایره‌ای تحت بار متمرکز در مرکز

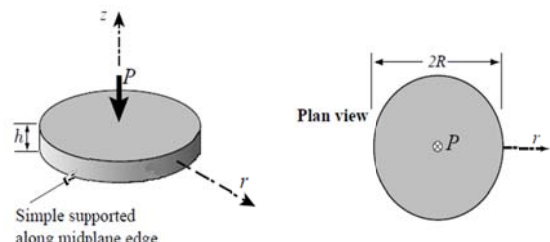
مشابه مثال قبل، در این مسئله نیز از توابع شکل نزیب مرتبه دو و نه نقطه گوسی برای انتگرال‌گیری عددی و نقاط بهینه تنش در هر ناحیه استفاده شده است. بردارهای گرهی در جهات  $\eta$  و  $\xi$  به صورت زیر می‌باشند.

$$\begin{aligned} \eta &= \{0, 0, 0.25, 0.5, 0.75, 1, 1\} \\ \xi &= \begin{cases} 0, 0, 0.05, 0.11, 0.16, 0.21, 0.26, 0.32, \\ 0.37, 0.42, 0.47, 0.53, 0.58, 0.63, 0.68, \\ 0.74, 0.79, 0.84, 0.89, 0.95, 1, 1 \end{cases} \end{aligned}$$

در شکل (۱۱) نحوه توزیع نرم خطای انرژی

### صفحه دایره‌ای شکل تحت بار متمرکز

مسئله نمونه دیگری که در این قسمت به آن پرداخته می‌شود، مدل‌سازی یک صفحه دایره‌ای تحت بار متمرکز  $P$  در مرکز و تکیه‌گاههای مفصلی در لبه‌های آن، تحت شرایط تقارن محوری می‌باشد (شکل ۹).



شکل ۹ صفحه دایره‌ای شکل تحت بار متمرکز در مرکز

با توجه به شکل (۹)، پارامترهای به کار برده شده در تحلیل این مسئله به صورت زیر می‌باشند:

$$R = 10, \quad h = 1, \quad P = 10, \quad E = 1000, \quad \nu = 0.3$$

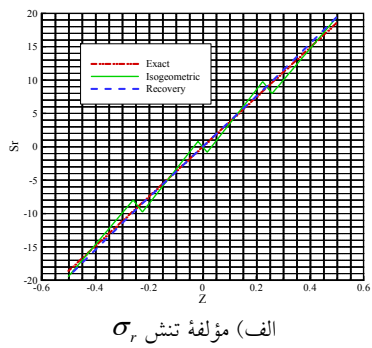
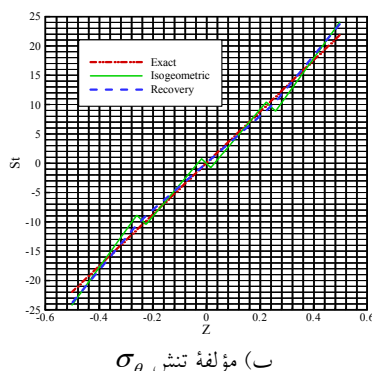
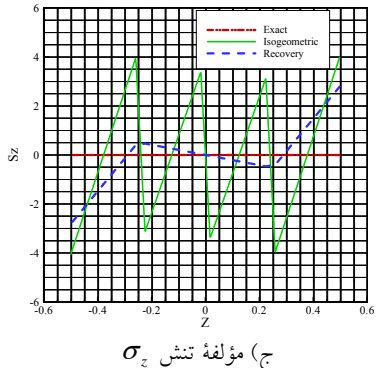
تشهی دقيق این مسئله با فرض مدل صفحه کیرشهف (Kirchhoff plate model) به صورت روابط [۱۴-۱۶] ارائه شده است.

$$\sigma_r = \frac{12M_r Z}{h^3}, \quad M_r = \frac{P}{4\pi}(1+\nu)\log \frac{R}{r} \quad (54)$$

$$\begin{aligned} \sigma_\theta &= \frac{12M_\theta Z}{h^3}, \\ M_\theta &= \frac{P}{4\pi} \left[ (1+\nu)\log \frac{R}{r} + 1 - \nu \right] \end{aligned} \quad (55)$$

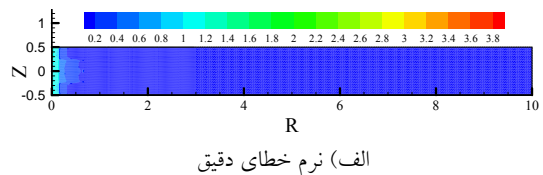
$$\sigma_z = 0, \quad \sigma_{rz} = 0 \quad (56)$$

همان‌طور که در معادلات (۵۴) و (۵۵) مشاهده می‌شود، پاسخ تحلیلی این مسئله در  $i=0$  دارای نقطه تکین می‌باشد. لازم به ذکر است که معمولاً مسائل با نقطه تکین، به علت بالا بودن خطای آلوودگی، مسائل

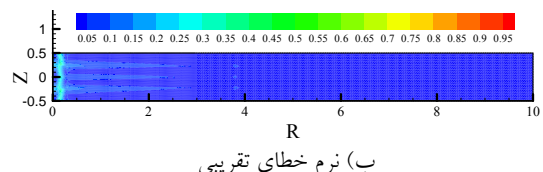
(الف) مؤلفه تنش  $\sigma_r$ (ب) مؤلفه تنش  $\sigma_\theta$ (ج) مؤلفه تنش  $\sigma_z$ شکل ۱۳ نمودار تغییرات مؤلفه‌های تنش  
صفحه دایره‌ای در مسیر  $R=0.5$ 

در شکل‌های (۱۲) و (۱۳) به منظور مقایسه نحوه تغییرات تنش دقیق با حل ایزوژئومتریک و بهبود یافته، به ترسیم نمودار تغییرات تنش در مسیر افقی به مختصات‌های  $(r, 0.25)$  و عمودی  $(0.5, Z)$  پرداخته شده است. لازم به ذکر است که به علت تغییرات زیاد حل تحلیلی در نزدیکی  $r=0$  نمودارها از  $r=0.3$  به بعد ترسیم شده‌اند.

دقیق و نرم خطای انرژی تقریبی نشان داده شده است. همان‌طور که مشاهده می‌شود، در توزیع نرم خطای تقریبی نیز میزان خطا در  $r=0$  نسبت به سایر نقاط بیشتر نشان داده شده است که نشان‌دهنده رفتار مناسب تخمین‌زننده خطا می‌باشد.

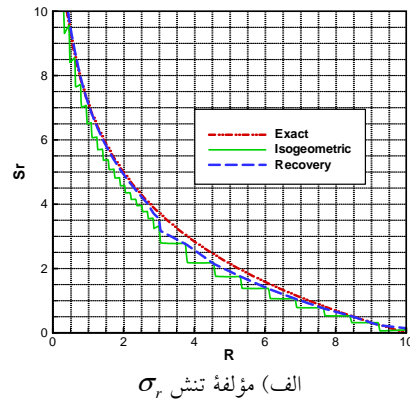
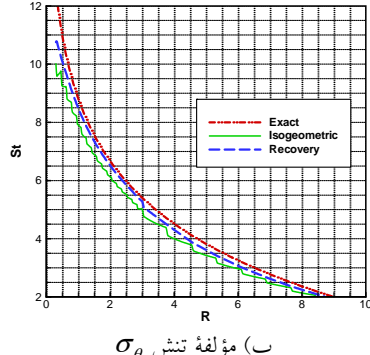


(الف) نرم خطای دقیق



(ب) نرم خطای تقریبی

شکل ۱۱ توزیع نرم خطای انرژی صفحه دایره‌ای

(الف) مؤلفه تنش  $\sigma_r$ (ب) مؤلفه تنش  $\sigma_\theta$ شکل ۱۲ نمودار تغییرات مؤلفه‌های تنش  
صفحه دایره‌ای در مسیر  $Z=0.25$

## نتیجه‌گیری

$\hat{u}$	بردار تغییرمکان هر نقطه داخل زیر دامنه نریز
$\bar{R}$	ماتریس توابع پایه‌ای نسبی نریز
$\bar{P}$	ماتریس ستونی مختصات نقاط کنترلی سطح نریز
$\epsilon$	بردار کرنش در مسائل مقارن محوری
$L$	عملگر دیفرانسیل در مسائل مقارن محوری
$B$	ماتریس کرنش واحد در مسائل مقارن محوری
$\sigma$	بردار تنش در مسائل مقارن محوری
$D$	ماتریس خواص ارجاعی مصالح در مسائل مقارن محوری
$\delta u$	بردار تغییرمکان مجازی
$\delta \epsilon$	بردار کرنش مجازی
$K$	ماتریس ضرایب (سختی) مربوط به کل دامنه مسئله
$F$	نیروهای خارجی وارد بر زیردامنه
$K_{\text{patch}}$	ماتریس ضرایب (سختی) مربوط به هر زیردامنه
	نریز
$J_1$	ماتریس ژاکوبین تبدیل مختصات از $r$ و $z$ (فضای فیزیکی مسئله) به $\xi$ و $\eta$ (فضای پارامتری نریز)
$J_2$	ماتریس ژاکوبین تبدیل مختصات از $\xi$ و $\eta$ (فضای پارامتری نریز) به $r$ و $s$ (فضای پارامتری انتگرال‌گیری)
$\sigma^*$	بردار تنش بهبود یافته در مسائل مقارن محوری
$\ e\ $	نم رخطای انرژی دقیق
$\ \bar{e}\ $	نم رخطای انرژی تقریبی
$P_\alpha$	بردار مؤلفه مجھول نقاط کنترلی نریز تنش $\alpha$

در این مقاله به توسعه روش SRI در برآورد خطای تحلیل ایزوژئومتریک مسائل مقارن محوری و تأثیر نقاط فوق همگرا در تشکیل سطح تنش بهبود یافته پرداخته شد. با توجه به تشابه توزیع نرم خطای تقریبی و نرم خطای دقیق در مسائل حل شده در این پژوهش و همچنین نزدیکی نمودارهای مؤلفه‌های تنش بهبود یافته به حل دقیق، نسبت به مؤلفه‌های تنش ایزوژئومتریک در این مسائل، می‌توان بیان نمود که نقاط فوق همگرا تنش در تحلیل ایزوژئومتریک مسائل مقارن محوری نیز از کارایی مناسبی برخوردار می‌باشند و می‌توان از آنها به عنوان راه حلی ساده و مهندسی برای برآورد خطای و بهبود میدان تنش بهدست آمده از تحلیل مسائل مقارن محوری به روش ایزوژئومتریک نام برد.

## فهرست علامت

$\Xi$	بردار گرهی در فضای پارامتری $\xi$
$\mathcal{H}$	بردار گرهی در فضای پارامتری $\eta$
$N_{i,0}(\xi)$	آمین تابع پایه‌ای بی-اسپلین از درجه صفر
$N_{i,p}(\xi)$	آمین تابع پایه‌ای بی-اسپلین از درجه $P$
$C(\xi)$	منحنی مربوط به تابع پایه بی-اسپلین و یا نریز
$S(\xi, \eta)$	سطح تعریف شده تابع پایه بی-اسپلین و یا نریز
$R_{i,j}(\xi, \eta)$	تابع پایه‌ای نسبی قطعه‌ای نریز

## مراجع

1. Kagan, P., Fischer, A. and Bar-Yoseph, P.Z., "New B-Spline finite element approach for geometrical design and mechanical analysis", *Int. J. numer. Methods Engrg.*, Vol. 41, pp. 435-458, (1998).
2. Hollig, K., Reif, U. and Wipper, J., "Weighted extended B-Spline approximation of dirichlet problems", *SIAM J. Numer. Anal.*, Vol. 39, 2, pp. 442-462, (2001).
3. Kagan, P., Fischer, A. and Bar-Yoseph, P.Z., "Mechanically based models: adaptive refinement for B-Spline finite element", *Int. J. numer. Methods Engrg.*, Vol. 57, pp. 1145-1175, (2003).

4. Hughes, T.G.R., Cottrell, J.A. and Bazilevs, Y., "Isogeometric analysis: CAD, finite elements, NURBS, exact geometry and mesh refinement", *Comput. Method Appl. Mech. Engrg.*, Vol. 194, pp. 4135–4195, (2005).
5. Hassani, B., Ganjali, A. and Tavakkoli, M., "An isogeometrical approach to error estimation and stress recovery", *European Journal of Mechanics A/Solids*, Vol. 31, pp. 101-109, (2011).
6. Cottrell, J.A., Hughes, T.J.R. and Bazilevs, Y., "Isogeometric Analysis: toward integration of CAD and FEA", Wiley, (2009).
7. Zienkiewicz, O.C., Taylor, R.L. and Zhu, J.Z., "*The Finite Element Method*", 6<sup>th</sup> edition, Elsevier Butterworth-Heinemann, (2005).
8. Rogers D.F., "*An Introduction to NURBS*", Morgan Kaufmann Publishers, (2001).
9. Piegl, L. and Tiller, W., "*The NURBS Book*", 2nd ed., Springer-Verlag, New York, (1997).
10. Hughes, T.J.R., Reali, A. and Sangalli, G., "Efficient quadrature for NURBS-based isogeometric analysis", *Comput. Methods Appl. Mech. Engrg.*, Vol. 199, pp. 5-8: 301-313, (2010).
11. Barlow, J., "Optimal stress locations in finite element models", *Int. J. Numer. Meth. Eng.*, Vol. 10, pp. 243–251, (1976).
12. Sadd, M.H., "*ELASTICITY: Theory, Applications, and Numerics*", Elsevier Butterworth-Heinemann, (2005).
13. Gratsch, T. and Bathe, KJ, "A posteriori error estimation techniques in practical finite element analysis", *Computers and Structures*, Vol. 83, pp. 235–265, (2005).
14. Timoshenko, S. and Woinowsky-Krieger, S., "*Theory of Plates and Shells*", 2<sup>nd</sup> ed., McGraw-Hill, (1959).